



2017年全国气象卫星遥感应用技术交流报告

一种基于语义规则算法的变化 信息提取技术

报告人: 李 著

单 位: 贵州省铜仁市气象局

报告内容

前 言

方 法

数据处理与分析

结 论

报告内容

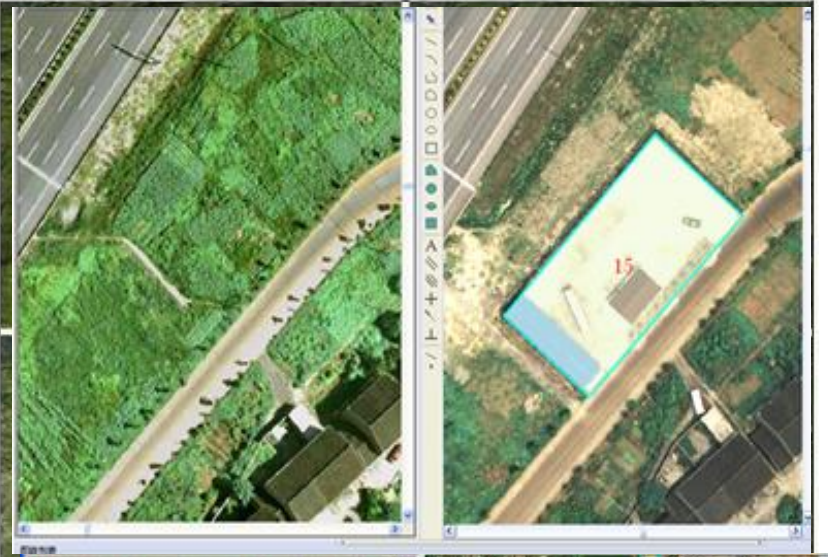
前 言

方 法

数据处理与分析

结 论

1. 研究意义



	Pixel-based Advantages and Disadvantages	Object-based Object-based	Advantages and Disadvantages
代数学方法	相对比较简单、直接，易于实施和理解；但无法提供完整的 变化信息矩阵 ，需要选取判定 阈值 。	图像对象变化检测	直接比较对象，易于执行；但处理 不同尺寸和形状 的对象时困难，并且需要选择判断 阈值 。
变换法	降低数据冗余，增强差异信息；但不能提供完整的变化信息，需要计算判定 阈值 。	类别对象变化检测	提供 变化信息矩阵 ；检测结果受 分类与分割 过程的影响。
分类法	可提供 变化信息的矩阵 ，减少因大气及环境差异而引起的 额外影响 ；但需要提取 训练样本 ，对于历史数据尤其困难。	多时相变化检测	可创建大小、形状和位置坐标一致的 图像对象 ；但目前尚不清楚将前、后时相的图像 一起分割 所带来的 影响 。
高等模型	转换后的参数比光谱信号 更能直观地被解释 ，能更好的 提取植被信息 ；但耗时，并且选择合适的 模型 较为困难。	混合变化检测	减少 变化信息的噪声 ，降低由于对象的不一致性定义引起的噪声。



伴随卫星陆续升空，如何从海量遥感影像数据中挖掘、发现有价值的信息，是一个从未间断的技术探索之路。变化检测方法的研究与探索，是其重要的分支。

报告内容

前 言

方 法

数据处理与分析

结 论

2.1 基于语义光谱规则的非监督概要分类方法-SRC

SRC- spectral rule-based classifier (proposed by Baraldi in 2006)

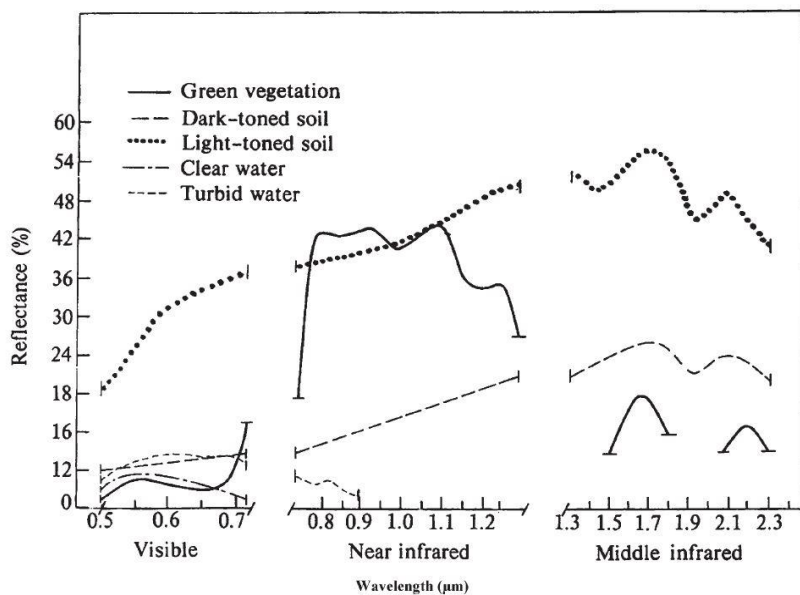


图2.1 几类典型地物的光谱反射率曲线

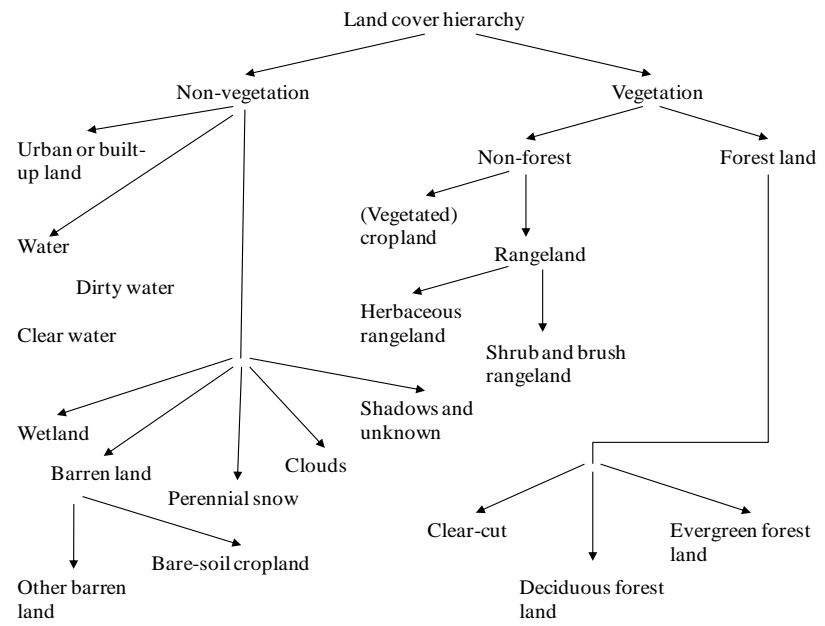


图2.2 SRC算法对土地覆盖类型分类的层级结构示意图

[1] A.Baraldi, V.Puzzolo etc. "Automatic spectral rule-based preliminary mapping of calibrated Landsat TM and ETM+ images", *IEEE Trans. Geosci. Remote Sens.*, 2006

2.1 基于语义光谱规则的非监督概要分类方法-SRC

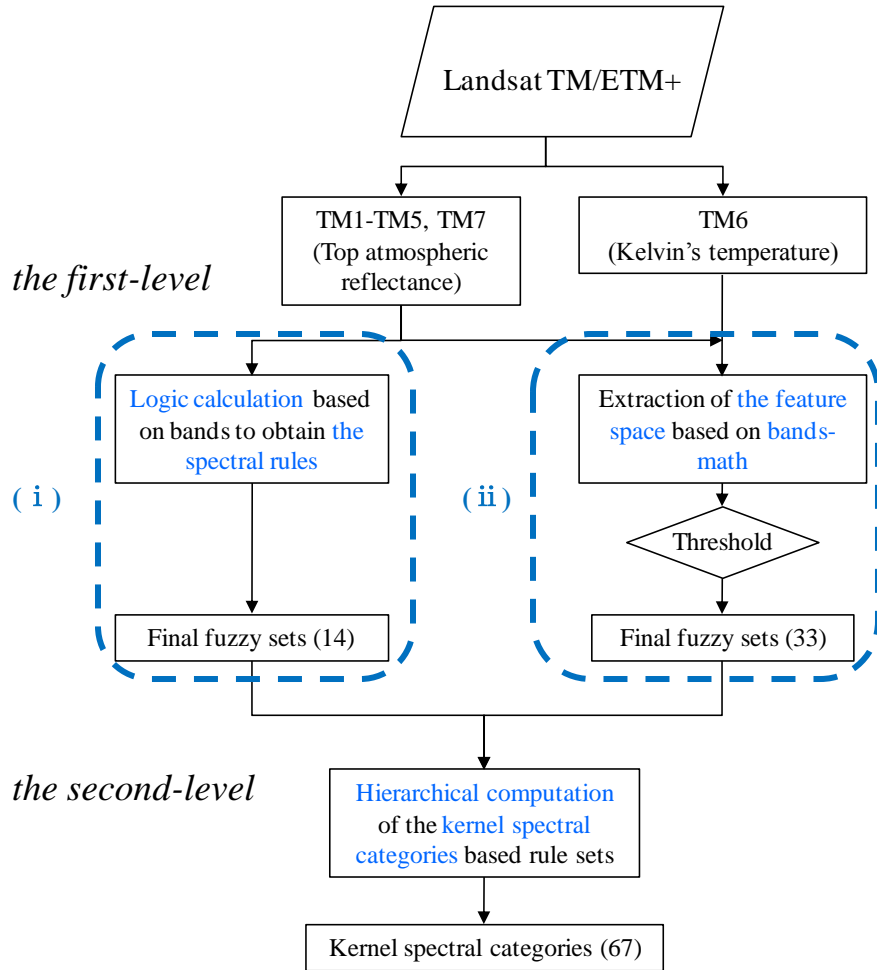


图2.3 SRC算法结构原理示意图

➤(i): 光谱规则集

Vegetation Spectral Rule: V_SR

$$\begin{aligned} V_{_SR} = & (TM2 \geq (0.5 \times TM1)) \&\& \\ & (TM2 \geq (0.7 \times TM3)) \&\& \\ & (TM3 < (0.7 \times TM4)) \&\& \\ & (TM4 > \max \{TM1, TM2, TM3\}) \&\& \\ & (TM5 < (0.7 \times TM4)) \&\& \\ & (TM5 \geq (0.7 \times TM3)) \&\& \\ & (TM7 < (0.7 \times TM5)) \end{aligned}$$

Water or shadow Spectral Rule (WASH_SR),
Barren-land or Built-up or Clouds Spectral Rule (BBC_SR)

➤(ii): 特征空间类模糊集

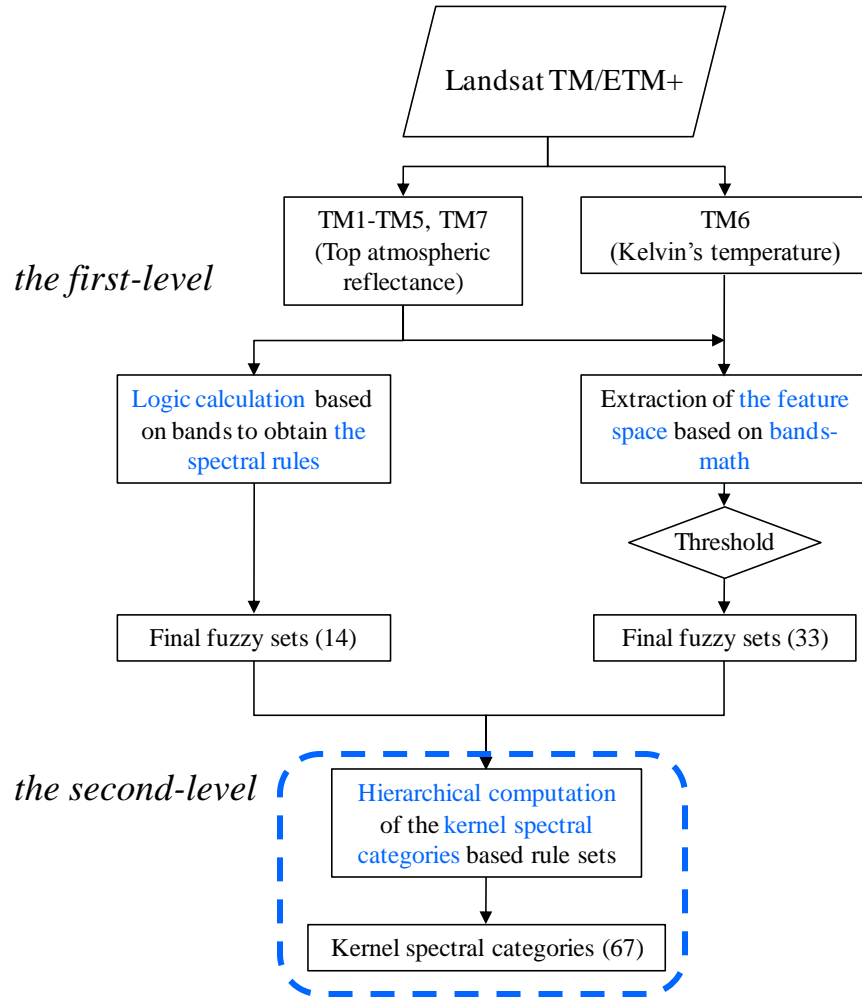
• 反射率类特征空间： Bright, Vis等；

$$\text{Bright} = (TM1 + TM2 + 2 * TM3 + 2 * TM4 + TM5 + TM7) / 8$$

• 指数类型特征空间： NDVI, NDBSI等；
 $NDVI = (TM4 - TM3) / (TM4 + TM3 + 0.001)$

• 模糊集提取：参考原算法中相应阈值提取特征空间类模糊集（HNDVI, MNDVI, LNDVI）。

2.1 基于语义光谱规则的非监督概要分类方法-SRC



➤光谱类别计算

Water or Shadow Spectral Category: WASH_SC

$\text{WASH_SC} = \text{``WASH_SR'' is true} \& \& \text{``LBright'' is true} \& \& \text{``LVis'' is true} \& \& \text{``LNDVI'' is true} \& \& \text{``LMIR1'' is true} \& \& \text{``LMIR2'' is true} \& \& \text{``LNIR'' is true} \& \& \text{``LTIR'' is not true} \& \& \text{``CumulativeOR_SC'' is not true}''$

TKCL_LSC	CL_SC and LMIRTIR	2
TNCL_LSC	CL_SC and MMIRTIR	2
SNIC_SC	SNIC_SR and LNDBSI and not(LBright or LVis or LNDVI or LNIR or HMIR1 or HMIR2 or HTIR or CumulativeOR_SC ⁵)	1
SN_LSC	SNIC_SC and HNDSI	2
ICSN_LSC	SNIC_SC and MNDSI	2
WASH_SC	WASH_SR and LBright and LVis and LNDVI and LNIR and LMIR1 and LMIR2 and not (LTIR or CumulativeOR_SC)	1
DPWASH_LSC	WASH_SC and HNDSI	2
SLWASH_LSC	WASH_SC and not(HNDSI)	2

图2.3 SRC算法结构原理示意图

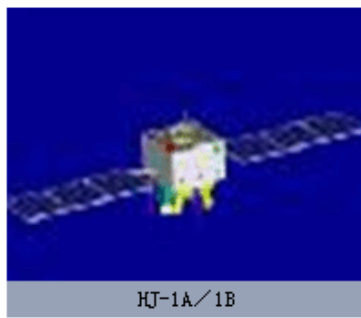
2.2 多源卫星数据的SRC应用-规则降维

表2.1 多源卫星传感器波段设置差异

传感器波段范围 (单位: μm)						
Landsat-5 TM	Landsat-7 ETM+	Landsat-8 OLI	GF-1	HJ-1A	HJ-1B	SPOT-5
-	-	0.43~0.45	-	-	-	-
0.45~0.53	0.45~0.52	0.45~0.51	0.45 ~0.52	0.43~0.52	0.43~0.52	-
0.52~0.60	0.53~0.61	0.53~0.60	0.52~0.59	0.52~0.60	0.52~0.60	0.49~0.61
0.63~0.69	0.63~0.69	0.63~0.68	0.63~0.69	0.63~0.69	0.63~0.69	0.61~0.68
0.76~0.90	0.75~0.90	0.85~0.89	0.77~0.89	0.76~0.90	0.76~0.90	0.78~890
1.55~1.75	1.55~1.75	1.56~1.66	-	-	-	1.58~1.75
10.40~12.50	10.40~12.50	10.6~11.19				-
		11.5~12.51				
2.08~2.35	2.09~2.35	2.11~2.29				



Landsat-7



HJ-1A/1B



高分一号



Spot-5

.....

2.2 多源卫星数据的SRC应用-规则降维

Landsat 7: 7-bands



4-bands



Spot-5

TM/ETM+ (30m SR)		SPOT5 (10m SR)	
Input data	Fuzzy sets	Input data	Fuzzy sets
1(B)	47个		
2(G)		1(G)	
3(R)		2(R)	
4(NIR)		3(NIR)	38个
5(MIR1)		4(MIR1)	
7(MIR2)			
6(TIR)			
Spectral categories:67		Spectral categories:41	

➤ SPOT-downscaled SRC

2.3 基于语义光谱规则预分类结果的变化信息提取

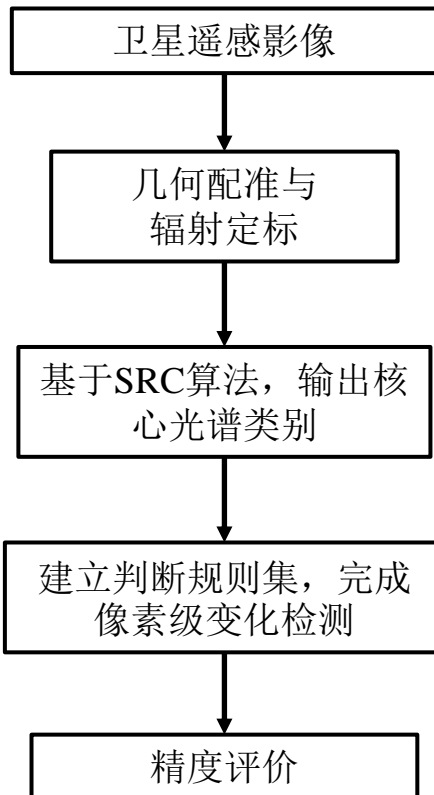


表2.2 部分光谱类别间的判断规则*.

Initial category	Final category								
	“7” or “8”	“17”	“18”	“22”	“23”	“24”	“28”	“40”	“41”
“7” or “8”	1	3	3	3	3	3	3	1	3
“17”	3	1	2	3	2	3	2	3	3
“18”	3	1	1	3	2	3	2	3	3
“22”	3	3	3	1	1	1	3	3	1
“23”	3	2	2	1	1	1	3	3	1
“24”	3	3	3	1	1	1	3	3	1
“28”	3	3	3	3	3	3	1	3	3
“40”	1	3	3	3	3	3	3	1	3
“41”	3	3	3	1	1	1	3	3	1

*: 表中“1”为“无变化”; “3”为“变化”; “2”为可能变化.

图2.4 基于SRC算法的变化信息提取技术路线

报告内容

前 言

方 法

数据处理与分析

结 论

3.1 数据处理与分析

➤ 数据预处理——辐射定标

$$TOARD = DN/Gain + Bias$$

$$\rho_{\lambda} = \frac{\pi \cdot TOARD \cdot d^2}{ESUN_{\lambda} \cdot \cos \theta_s}$$

➤ 精度评价

表3 各方法下4个测试区域的变化信息提取精度评价.

测试区域	Area-Ratio					
	SRC-Pre	CVA	PCA	ICA	MLC	SVM
Test-1	72.50%	76.65%	71.84%	78.57%	74.00%	82.31%
Test-2	sub-1	93.73%	95.16%	93.54%	99.06%	84.35%
	sub-2	87.60%	65.34%	53.20%	85.56%	72.84%
Test-3		96.65%	96.56%	94.03%	99.62%	94.71%
Test-4	sub-1	88.99%	94.83%	93.22%	98.36%	84.04%
	sub-2	91.69%	82.31%	74.01%	95.78%	83.65%
	sub-3	8.66%	20.63%	6.70%	48.97%	39.47%
						52.19%

[1] Baraldi, A.; Durieux, L.; Simonetti, D.; Conchedda, G.; Holecz, F.; Blonda, P. 2010. Automatic spectral-rule-based preliminary classification of radiometrically calibrated SPOT-4/-5/IRS, AVHRR/MSG, AATSR, IKNOS/QuickBird/OrbView/GeoEye, and DMC/SPOT-1/-2 imagery - Part I: system design and implementation. IEEE. Geosci. Remote. 48: 1299-1235.

3.2 变化信息提取与结果分析

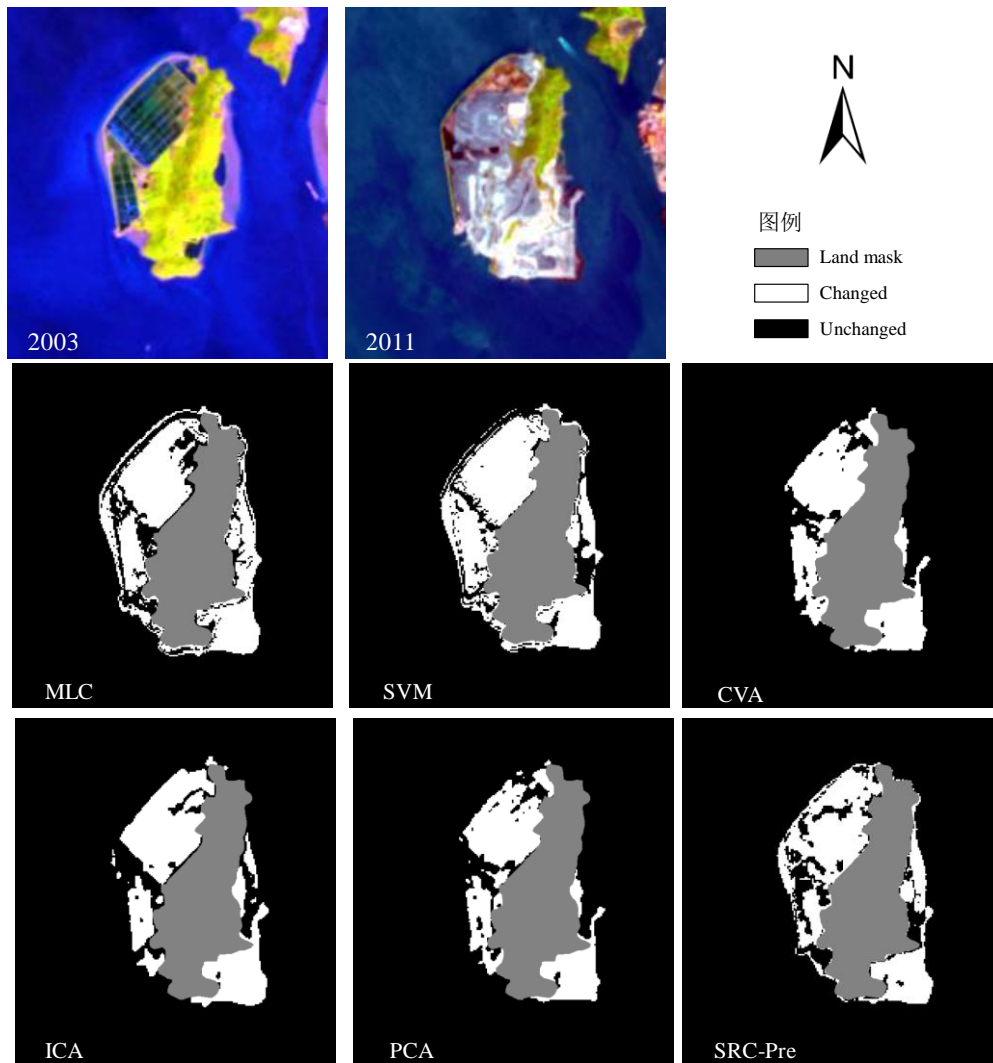


图3.1 各方法下测试区域的变化信息提取结果，Test-1.

- ✓ “盐田-围海造地”
- ✓ “海水-围海造地”
- ✓ “滩涂”的消失以及极小面积的“滩涂-围海造地”变化。

小结：

- 这6种方法对测试区域邻近海域的变化信息提取**精度都不高**（低于85%）；
- **ICA**和**基于监督分类后比较**的方法对该区域周围的变化信息提取效果较好；
- **SRC-Pre**对西南角一处“滩涂-围海造地”变化信息存在**漏检**。

3.2 变化信息提取与结果分析

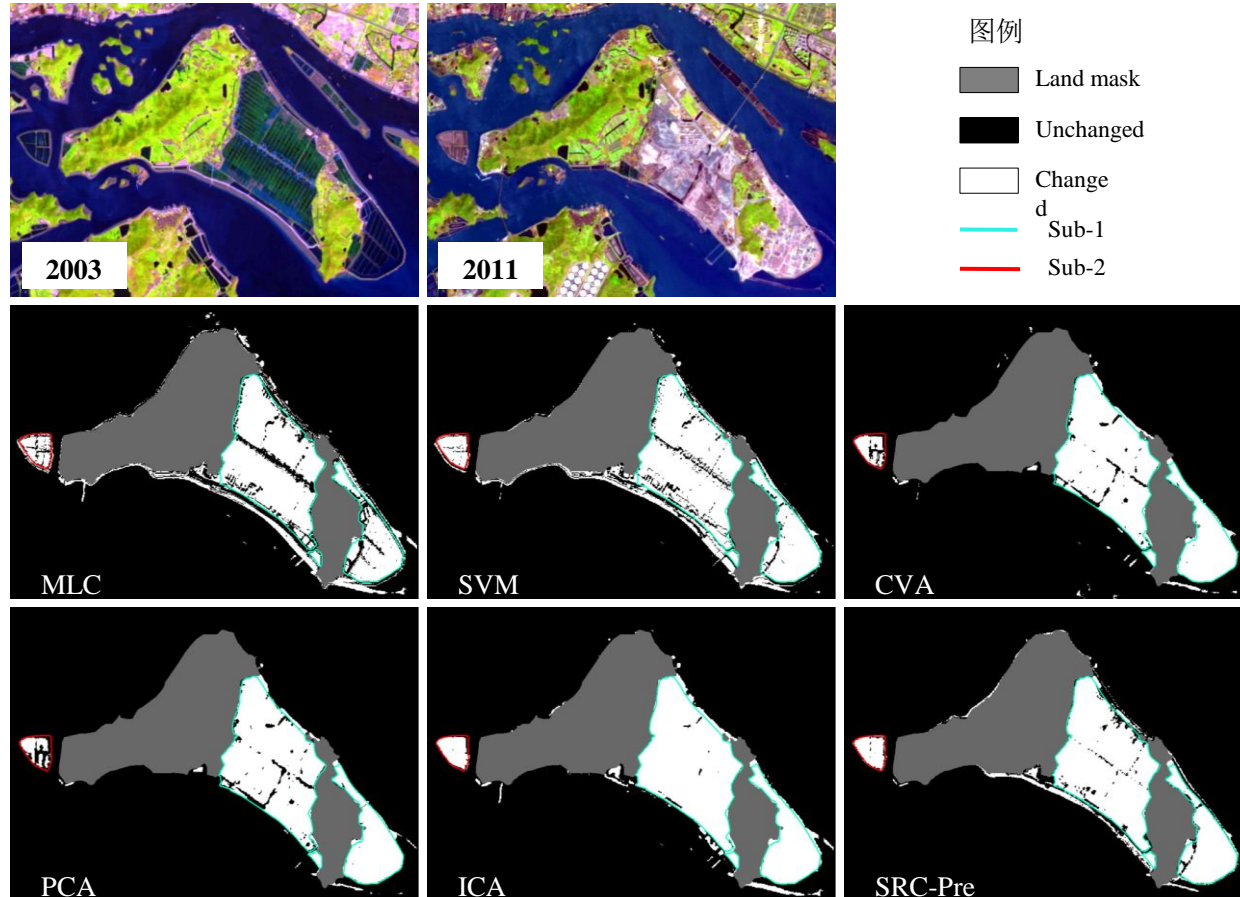


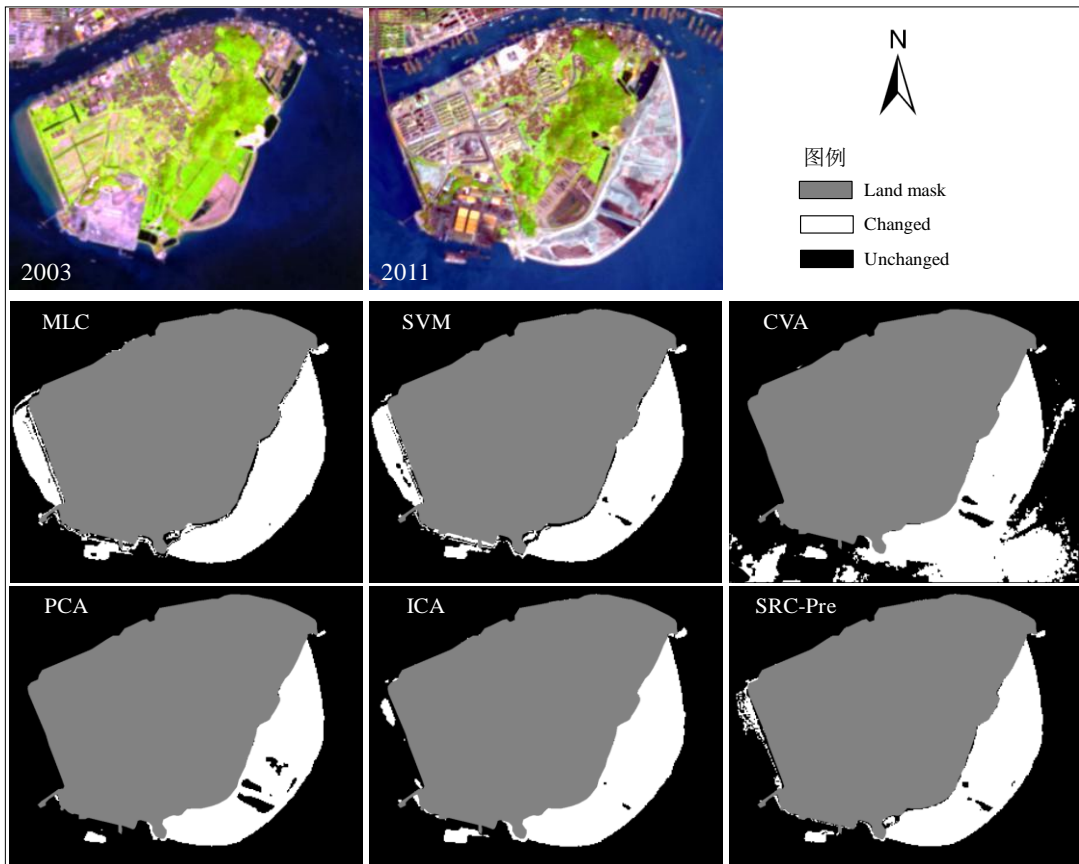
图3.2 各方法下测试区域的变化信息提取结果, Test-2.

- ✓ “盐田-围海造地”
- ✓ “养殖水面-围海造地”

小结:

- SRC-Pre (93.7%、87.6%) 和 ICA (99.1%、85.6%) 精度较好。
- ICA和SRC-Pre对两个测试区域的检测都比较完整
- 其他方法对养殖水面和盐田的围栏存在不同程度的漏检。

3.2 变化信息提取与结果分析



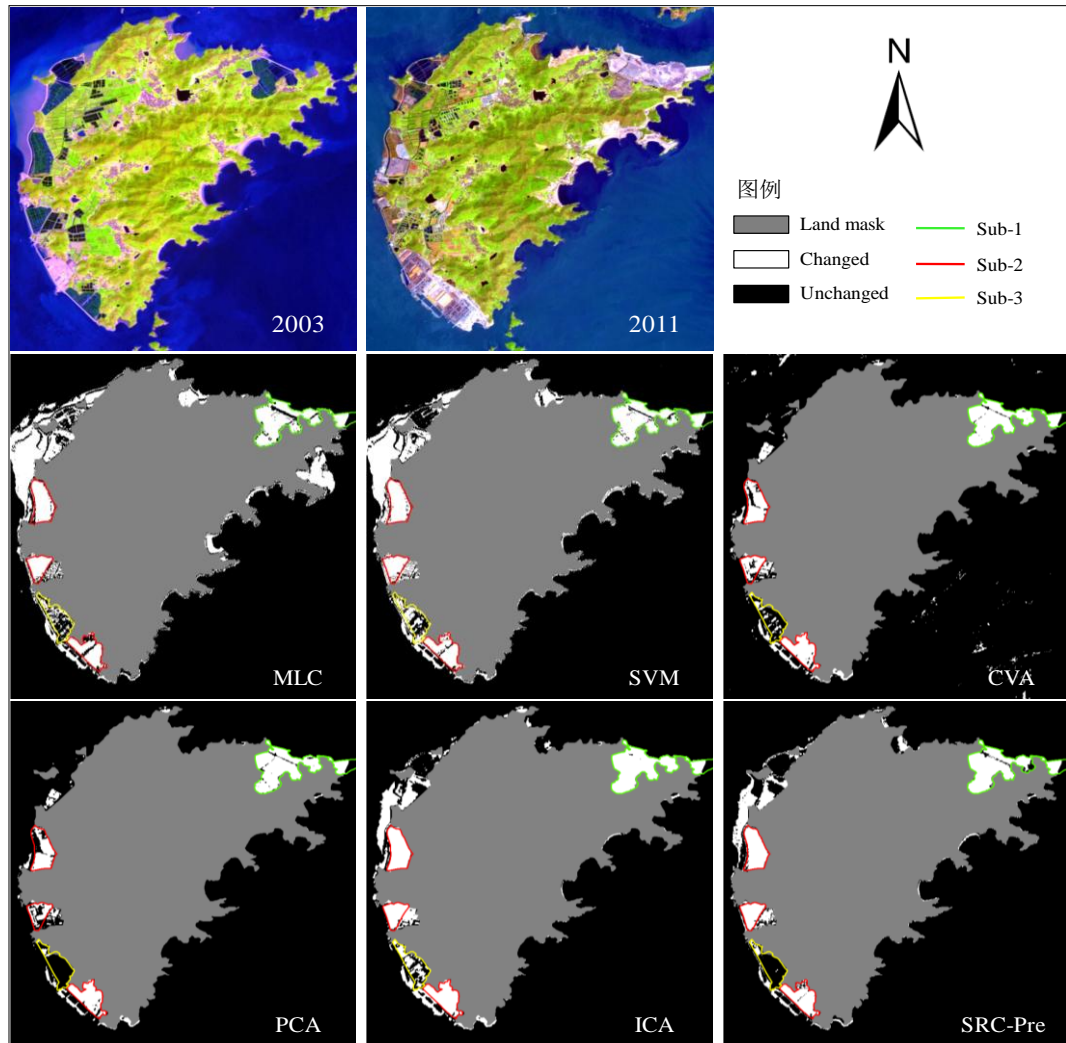
✓ “海水-围海造地”

小结:

- 6种方法对该测试区域的变化信息都能有效提取，ICA（99.6%）精度最高，SRC-Pre（96.7%）次之；
- CVA对海水存在明显的过检现象；
- 除CVA和PCA外，其他方法对“滩涂-海水”间的自然变化都表现出不同程度的过检测。

图3.3 各方法下测试区域的变化信息提取结果，Test-3.

3.2 变化信息提取与结果分析



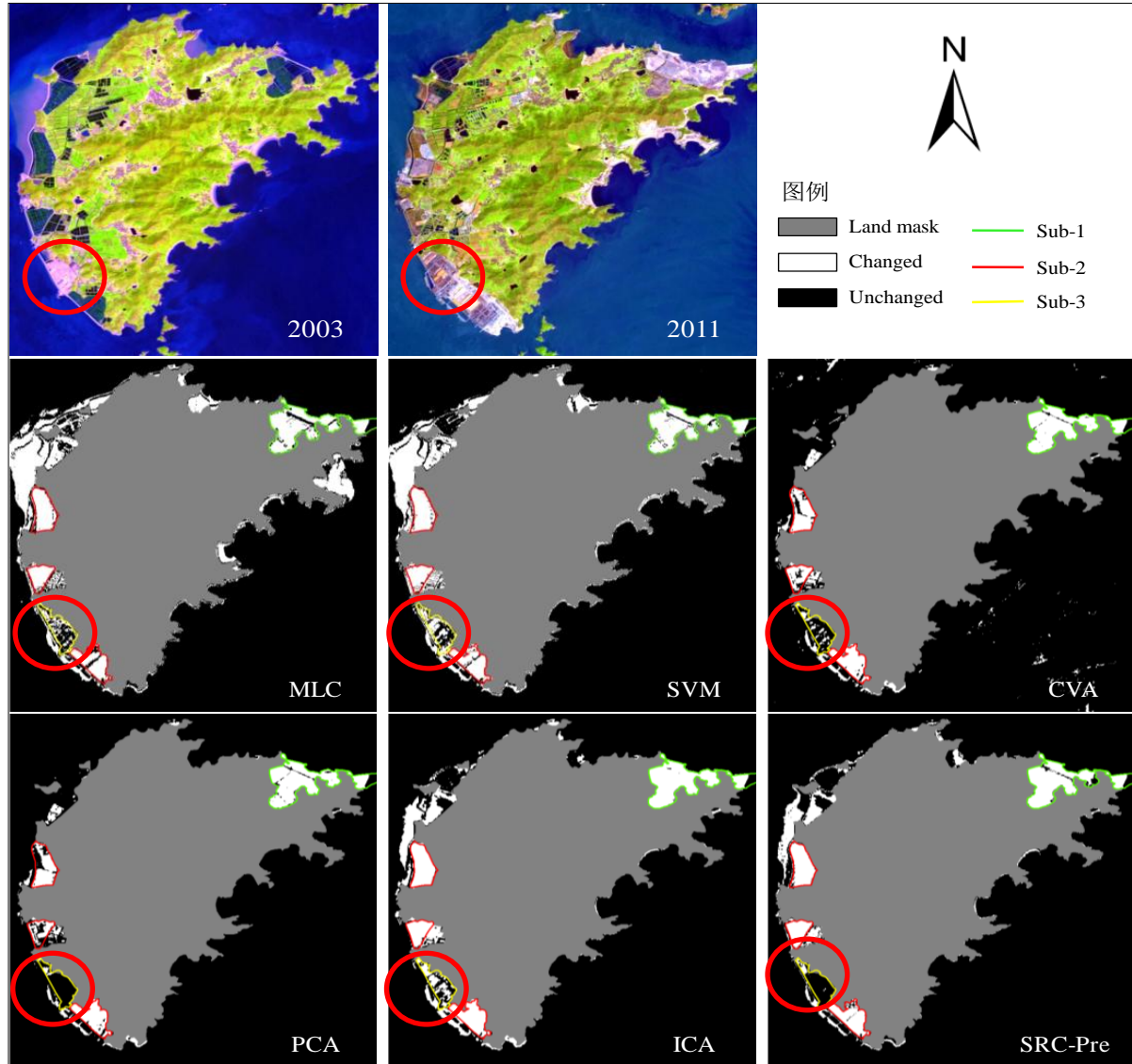
- ✓ sub-1: “盐田-围海造地”、“海水-围海造地”
- ✓ sub-2: “盐田-围海造地”
- ✓ sub-3: 围海造地的中间变化过程（即围海造地过渡期到码头建成期的变化）

小结:

- 在sub-1区域，ICA (98%) 精度最高，基于MLC分类后比较 (84%) 精度最低；在sub-2区域，ICA (95%) 精度仍然最高，SRC-Pre次之 (91%)；
- 而对于sub-3区域而言，所有方法对这种变化都不能有效检测，精度都低于60%，其中SRC-Pre和PCA低于10%；
- SRC-Pre对“盐田-围海造地”的变化检测能力强且稳定，但对“滩涂-围海造地”的变化仍然会漏检。

图3.4 各方法下测试区域的变化信息提取结果，Test-4.

3.2 变化信息提取与结果分析



✓ sub-3: 围海造地的中间变化过程（即围海造地过渡期到码头建成期的变化）

观察原始数据的假彩色合成图像可知，对于sub-3区域而言，两个时期地物的亮度都特别高，光谱差异较小，目视解译判断时需要借助图形、纹理等特征。

➤ 这表明，6种方法对光谱差异不明显的变化信息的检测能力不高。

报告内容

前 言

方 法

数据处理与分析

结 论



4. 结论

- ◆ 通过分析可知，除“滩涂-围海造地”变化类型，本文提出的SRC-Pre方法对测试区域的其他类型的变化信息具有较好且稳定的检测能力。
- ◆ ICA方法的检测能力最稳定，并且对大部分测试区域的检测精度都超过90%；
- ◆ 监督分类后比较的方法对滩涂的变化比较敏感，在滩涂和海水交界处出现漏检；对养殖水面和盐田区域围栏部分的变化不敏感，它从像元光谱的角度出发，没有考虑地物整体特性，因而对围栏-围海造地的变化漏检；
- ◆ CVA对真正发生变化的区域具有一定的检测能力，但在海水区域出现不合理的过检现象。



4. 结论

- ◆ 原始SRC算法体系没有针对特定海域使用类型的光谱特征进行分析和模拟，对“滩涂”存在误分类，使其对“滩涂-围海造地”变化的漏检。如果针对海域使用类型的光谱特征作进一步研究和分析，SRC将能更有效的用于测试区域地物类型变化信息的自动提取。
- ◆ 另外，原始SRC算法是针对Landsat TM/ETM+ 数据定义的规则集，本文在处理SPOT-5数据时，仅是根据波段设置差异对语义规则进行简单降维处理，降低了原语义规则的适用性，使光谱规则对地物的模拟能力降低，这也在一定程度上折损了该方法应用于变化检测的能力。



2017年全国气象卫星遥感应用技术交流报告

敬请各位老师批评、指正！